

الباب الثاني عشر

المبادلات الـإليكترونية والمبادلات الأيونية

الاكسدة-الاختزال

**Electron Exchangers and Redox
Ion Exchangers**

obeikanal.com

مبادلات الإلكترون:

هي عوامل أكسدة - اختزال صلب. تلك المتبادلات لا تذوب ولكن تتتفح لمدى محدود. وهى عوامل انعكاسية. فالإلكترون المبادل يمكن أن ينشط بواسطة مؤكسد أو مختزل مناسب.

ونشاطية الإلكترون المبادل يعود إلى وظيفة المكون مثل الكينون / هيدروكينون - حيث الأكسدة - الاختزال تم انعكاسيا. فمبادلات الإلكترون هي تبعا للقاعدة راتجات هيدركربون نسيجية. في هذا الإطار هي تشبه راتجات التبادل الأيوني اصطلاحيا. وعلى أي حال هي ليست متبادلات أيونية، حيث أنها ليست حاملة لمجموعات أيونية ثابتة أو أيونات عد.

أكسدة - اختزال المتبادلات الأيونية، حيث ازدواجية الأكسدة - الاختزال مثل $\text{Cu}^{2+}/\text{Cu}^{3+}$, $\text{Fe}^{2+}/\text{Fe}^{3+}$, أزرق ميثيلين / أزرق ليوكو ميثيلين **methylene blue / leuko methylene blue** الأكسدة - الاختزال موجودة في الراتج إما كأيونات عد أو بواسطة تكوين امتصاص أو مترافق. متبادلات الإلكترون والمتبادلات الأيونية: عملية الأكسدة - الاختزال تأخذ مسلك مماثل لازدواجية أكسدة واختزال من حيث امتلاكهـم نشاطية وجهـد أكسدة - اختزال لازدواجية. ويعتبر التغير بواسطة الاندماج للازدواجية لا معنى له في الوزن. والفرق بين المزدوج الذائب والراتجات هو أن الأخير عامل صلب ومن السهل فصله وتتشيـطـه مرة أخرى فيـ التـفاعـلاتـ.

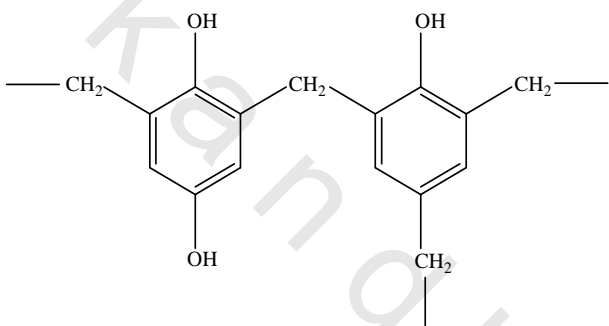
التحضير :

يمكن تحضـيرـ تلكـ المـباـدلـاتـ إـماـ بـطـرـيقـةـ التـكـثـيفـ أوـ بـالـإـضـافـةـ.ـ وفيـ كـلـ الـحـالـتـيـنـ يـتـمـ إـدـخـالـ المـجمـوعـاتـ النـشـطـةـ لأـحـادـيـ الجـزـيـءـ Monomer وبعد عملية التبلمر يتم الشـكـلـ الشـبـكـيـ للـراتـجـ.

التبلمر - بالتكثيف:

تتم عملية التحضير بتكثيف الفينول متعدد التكافؤ، فينولات أمينو وعديد فينيلين عديد الأمين مع الفورمالدهيد واستخدامها لإزالة الأكسجين المذاب من السوائل.

تم تحضير مشابه لعدد عوامل أكسدة - احتزال عضوية لجهود مختلفة الأكسدة - الاحتزال، والعديد من تلك العوامل تحتوى على وحدات فينول أو نافثول والتي تكشف بسهولة مع الألدهيدات. أحد تلك التحضيرات لهذا النوع من المبادلات - الإلكترون هو ناتج من تكثيف الهيدروكينون، فينول وفورمالدهيد بنسبة (2 : 1 : 1) على الشكل :

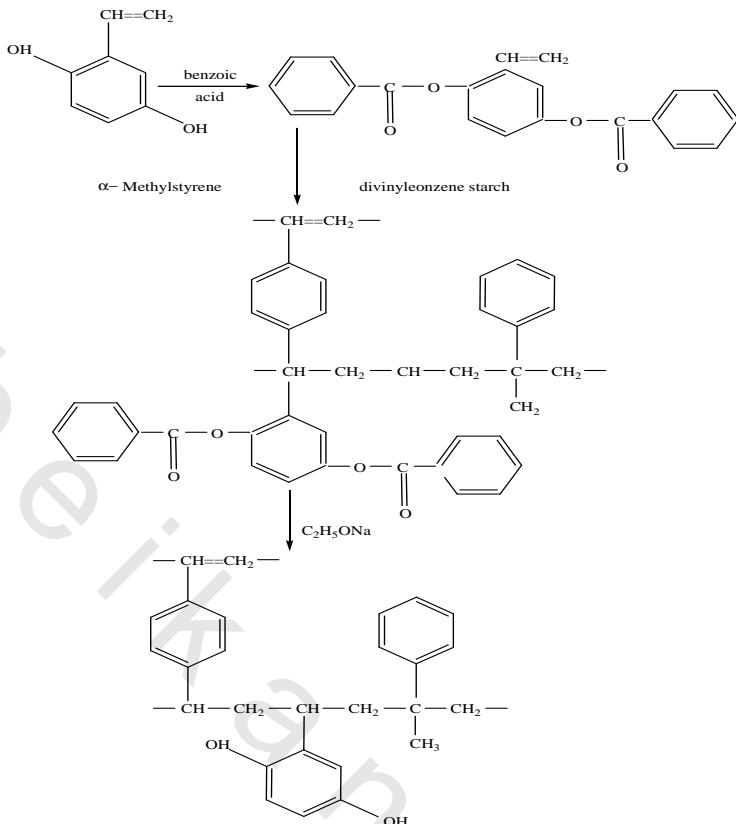


ويصاحب الأكسدة - الاحتزال تغير عال في اللون، مثلا. ناتج تكثيف الميثيلين الأزرق (أزرق ميثيلين)، وبزورسيينول والفورمالدهيد يكون لونه أبيض عند احتزالة (أزرق ليكو ميثيلين) وأزرق غامق عند أكسدته (أزرق ميثيلين)، مثل تلك الراتنجات يمكن أن تستخدم كأدلة أكسدة - احتزال، هذا النوع من التبلمر بدأ من عام 1944

. I.Q. Farbenindustrie

التبلمر بالإضافة :

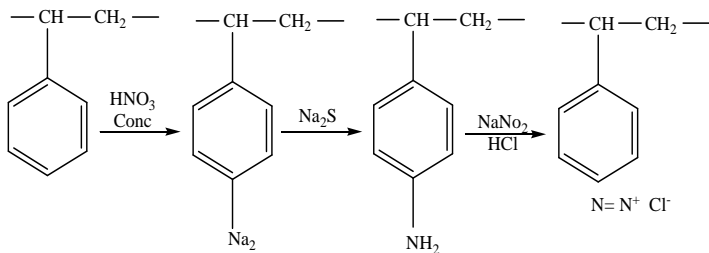
بوليمرات بالإضافة بصفات تبادل - إلكترون محضره في 1949 بواسطة H.G. Cassidy على النحو :



إضافة لهذا النوع نسبيا ثابت، وقابليتها للماء قليلة عن بلمرات التكثيف وهذا النوع أقل في نسبة الانفراخ، كذلك المجموعات الداخلية النشطة ليست سهلة الوصول إليها. وعلاجها بإدخال مجموعات قوية. وهذا النوع في تلك الحالة حامل لمجموعتين أحدهما مجموعة سلنونية وأخرى تبادل إلكتروني، والتبادل الكاتيوني ليس له تأثير على سعة الأكسدة - الاختزال لهذا النوع.

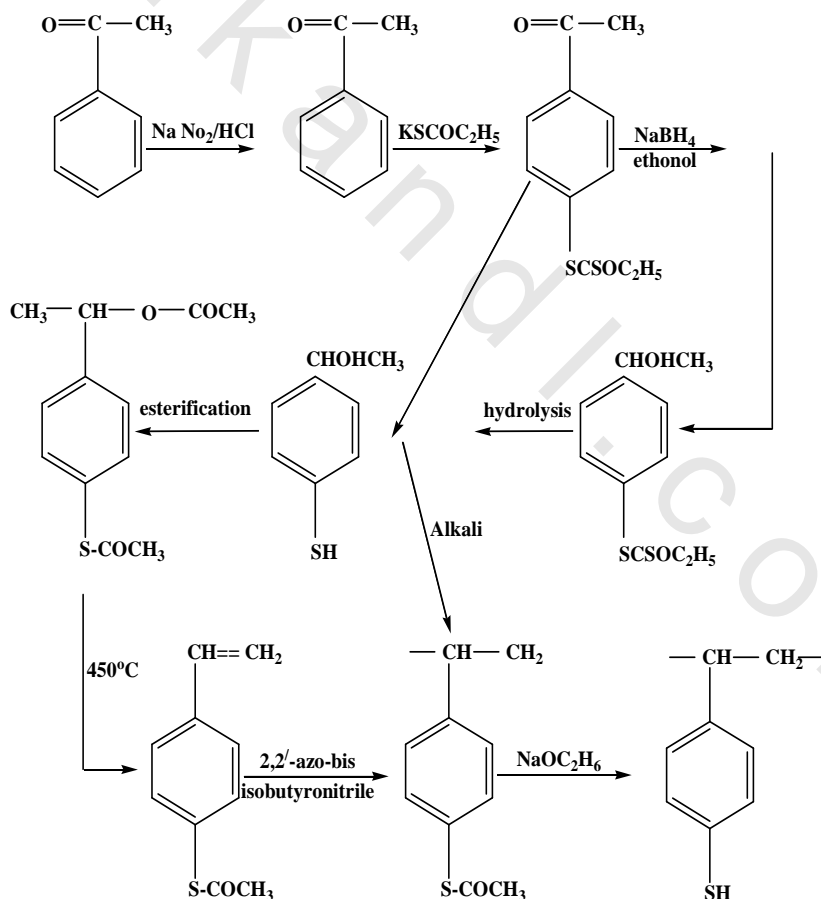
إدخال المجموعات النشطة بعد التبلمر :

مبادلات إلكترون كذلك يمكن تحضيرها من راتجات مشابكة بعد إدخال المجموعات النشطة بعد التبلمر. عديد الإستاييرين المشابك المناسب كمادة بدئية، مجموعة الـ nitrit تختزل إلى عديد diazotized الذرة .

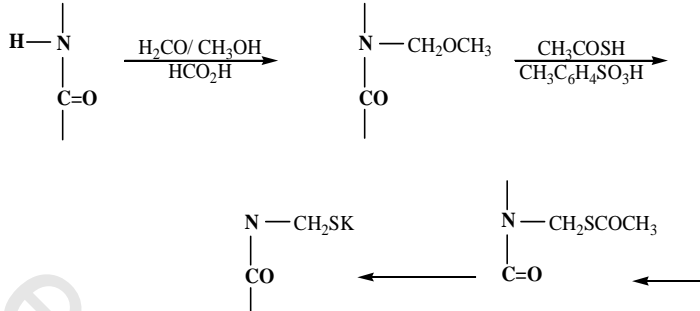


ويزدوج كلوريد الديازونيوم مع أحادى الجزيء نشط، مثل. مع صبغة مثل أزرق ميثيلين، بنفسجي بلور أو بارافاكس. بازدواجه مع أزرق ميثيلين ليعطى مبادل إلكترون خاص.

ويمكن تحضير عديد ثيول إستايرين من كلوريد الديازونيوم بتفاعله مع بوتاسيوم زانثوجينات، ثم يتبعه تحل قلوي pot . Xanthogenate



هذا المبادل عبارة عن مبادل إلكترون بجهد أكسدة - احتزال ضعيف وفي بعض حالات يعتبر عامل احتزال قوى. كذلك يمكن إدخال مجموعة ميركابتو إلى راتجات عديدة الأمين مثل النايلون.



مبادلات الأكسدة - الاحتزال الأيونية :

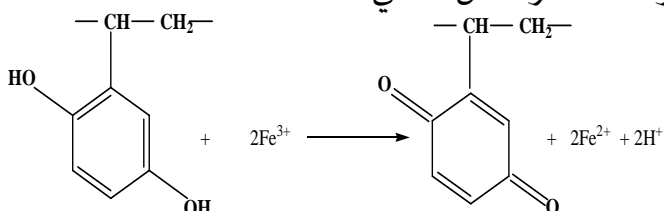
من السهل تحضير مثل تلك المبادات الكاتيونية والأنيونية، أي من أيون العد يمكن أن يستبدل تلك الأيونات SO_3^{2-} , Fe^{3+} , Cu^{2+} , هذه المبادات يمكن أن تعمل كعامل أكسدة أو احتزال في وقت واحد. ومن المعروف قدما من المبادات كعامل مختزل هو ديوليت - S 100 التجاري وهو مبادل أنيوني محتوى على متراسك لأيون نحاس، وهذا النوع يستخدم لإزالة الأكسجين المذاب في الماء.

وأحد المبادات المستخدمة للاحتزال المحضر هو عديد الجزيء المشابك لمشتقات الكلوروفيل أو الهيemin (Chlorophyll or hoemin) أو المحتوى على أيون لمعدن مزدوج الأكسدة - الاحتزال في وقت واحد مثل $\text{Fe}^{3+}/\text{Fe}^{2+}$ في الشكل المتراسك. مثل تلك الأنواع غالبية الثمن، وبالتالي العمل على تلك المبادات قليل، والأكسدة - الاحتزال لها قليلة، ولكن مثل تلك الأنواع لها دور مهم في أكسدة - الاحتزال البيولوجية.

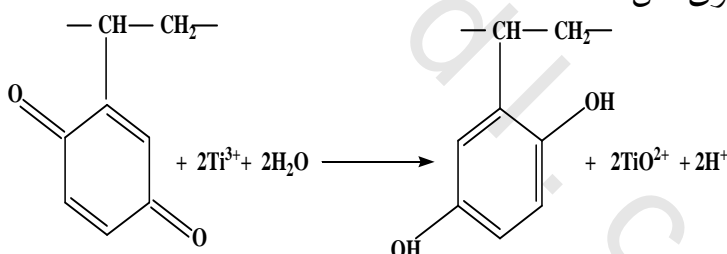
التفاعلات والتطبيق :

تفاعل المبادات الإلكترونية بنفس الطريق للمونيمرات (الأحادي الجزيء) الفعالة حيث أنها تعتمد أخيرا على الشبكية. فالمبادل الإلكتروني في حالة الاحتزالية، يستطيع احتزال مواد مذابة شرط أن

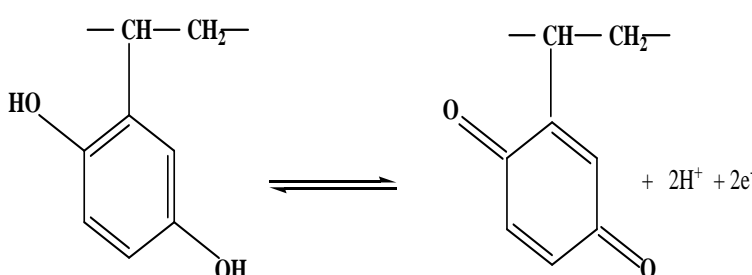
جهد الأكسدة - الاختزال للمادة أكبر من المبادل الإلكتروني. ومن ناحية أخرى، يجب أن يكون المبادل الإلكتروني عامل مختزل قوى عن المادة المختزلة - انظر المثال التالي :



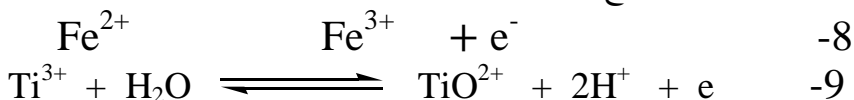
في هذه الحالة للتفاعل يتأكسد إلكترون المبادل وينقل إلكترونات إلى المادة الخاضعة وبروتونات إلى محلول الاختزال للحديديك بواسطة إلكترون المبادل لنوع الهيدروكينون كذلك نلاحظ أن هذا التفاعل لا انعكاسي حيث أن ازدواجية الأكسدة - الاختزال في النظام $\text{Fe}^{3+}/\text{Fe}^{2+}$ تمتلك أعلى قياس جهد عن المبادل الإلكتروني، وهذا يعني أن Fe^{3+} عامل مؤكسد قوي، وبال مقابل Fe^{2+} عامل مختزل ضعيف عن المبادل المختزل، وعملية اختزال الراتنج يمكن تحقيقها بواسطة عامل آخر مختزل قوي مثل :



يمكن التعبير عن ذلك عموما بتفاعل الأقطاب.

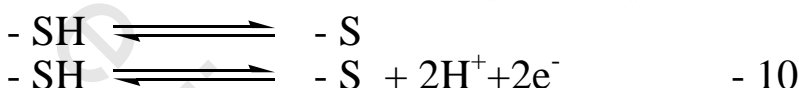


وبالربط لهذا التعبير مع تفاعل القطب للمواد الأزدواجية الخاصة تعطى معادلة التفاعل للنظام. ففي المثال السابق المعادلة (6، 5) بربطهم معاً ليعطيها المعادلة (7) مع :



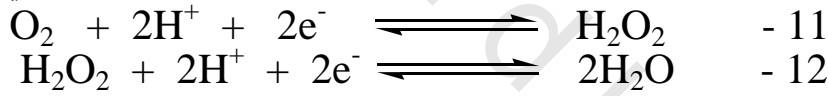
على التوالي .

وفي مبادل الكترون مع مجموعات ميركابتو، يدخل تفاعل الأكسدة لمجموعتين متجاورتين والتفاعل هو :

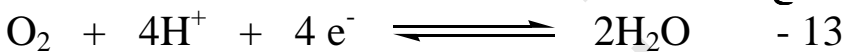


فالمبادل الأيوني في الشكل (A) يمكن أن يتحول كاملاً إلى الشكل (B) وذلك بمعالجة بمحاليل كافية تحتوى على BY ، فكلما وجد الراتج بكمية وفيرة لابد وأن يكون الكحول بكمية أكبر.

والتطبيق العملي وهو إزالة الأكسجين المذاب في الماء أو المحاليل المائية، والتفاعل يسير على خطوتين، وتفاعل الأقطاب حينئذ كما يلى:



بالجمع :



بربط التفاعل الإجمالي لتفاعل قطب المعادلة (13) مع تفاعل القطب

مبادر الإلكترون يعطى:-



وهنا لا يوجد تغير يذكر في الرقم الأيدروجيني P_{H} . جهد الأكسدة - الاختزال القياسي للخطوة الأولى 0.682 فولت (تفاعل 11) والخطوة الثانية (12) هو 1.77 فولت. وبالنسبة لمبادر القطب بمقاييس جهد الأكسدة - اختزال أقل للقيمة 0.7 فولت والتي تم انجازها لكلا التفاعلين. وخطوة المرحلة الثانية يمكن إجراؤها ببطء عن الخطوة الأولى، لذا فإن

الاتزان في الخطوة الثانية هي المسئولة، وفي هذا الإطار يمكن لنا فصل ناتج الوسط H_2O_2 . وفي الكيمياء التحليلية. جهد الأكسدة - الاختزال القياسي لمعظم المبادلات القطبية أقل عن 0.771 V (فولت) وهذه القيمة عالية لإتمام الاختزال.

تطبيق آخر لإزالة الكلور من المحاليل المائية، مثلا :



هذه الطريقة تستخدم أيضا في الكيمياء التحليلية الكمية (الوصفية).

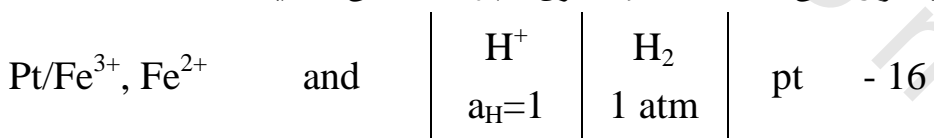
تطبيقات الكيمياء الفيزيائية :

1 - سعة الأكسدة - الاختزال :

تعرف كما يلي بالعدد المكافئ أكسدة - اختزال لوحدة حجم أو وحدة وزن للراتج، وعادة تعين بالمليمكافيء لكل جرام راتج جاف، وعليه فالأعلى في السعة. الأقل وزناً متطلب للأكسدة - الاختزال لأي كمية من المادة.

2 - جهد الأكسدة - الاختزال :

تصف قوة الأكسدة - الاختزال القياسي للمبادل، وسيتم دراسة الديناميكا الحرارية لجهد الأكسدة - الاختزال على النحو: أنه فرق الجهد الكهربائي بين المحلول المزدوج وبين قطب الأيدروجين القياسي. هذا القطب القياسي - يعتبر البلاتين المغموس في محلول تحت ضغط واحد ضغط جد. نفترض أن جهد الأكسدة - الاختزال محلول ممتزج يحتوى على $\text{Fe}^{3+}, \text{Fe}^{2+}$. إذا فرق الجهد لنصف الخلية.



وكل أكسدة تتم، بالتعريف. فقد لإلكترون، وكل اختزال يتم التقاط (اكتساب) إلكترون. وعندما يزدوج كل من الأكسدة والاختزال واحد مع الآخر كمثال لنفس محلول. تحدث الأكسدة

والاختزال، وبالتالي ينفصل إلكترون مباشرة من عنصر آخر. وعموماً يعتمد ميل الأكسدة والاختزال $\text{Fe}^{3+} / \text{Fe}^{2+}$ على التركيز النسبي للمكونات أي من الحديديك والحديوز.

والعلاقة الشيرموديناميكية بين الجهد القياسي، وجهد المكونات كما يلي والتي يمكن استtractionها من الخلية (16) على النحو التالي :



والذي يصاحبها نقص في الطاقة الحرية.

$$\Delta G = - \sum U_i n_i = - \sum U_i^{\circ} n_i - RT \sum n_i \ln a_i$$

$$Ef = -\Delta G = RT m K + \frac{[Fe^{3+}][H_2]^{1/2}}{[Fe^{2+}][H^+]} \quad - 18$$

حيث U_i - الجهد الكيميائي للعناصر i ، U_i° - الجهد الكيميائي للعناصر i ، n_i - عدد المولات (i) للعناصر المتلاشية والمولدة (+) لأيون الحديدوز، H^+ ، -1 - لأيون الحديديك، $\frac{1}{2}$ - لجزيء الأيدروجين، a_i النشاطية للعناصر i ، K - ثابت الاستقرار الشيرموديناميكي للتفاعل وفي خلية مثل (16) ومع تيار انعكاسي. حيث الطاقة تأخذ الشكل الكهربى $E\mathfrak{J}$.

$$Ef = -\Delta G = RT m K + m \frac{[Fe^{3+}][H_2]^{1/2}}{[Fe^{2+}][H^+]} \quad - 19$$

حيث E - فرق الجهد الكهربى بين الأقطاب، \mathfrak{J} - ثابت فاراداي. عندما يقاس الجهد للمزدوج كاملاً $\text{Fe}^{3+} / \text{Fe}^{2+}$ ، والنشاطية في المعادلة (19) حينئذ سيكون الجهد القياسي هو :

$$E^{\circ} = \frac{RT}{\mathfrak{J}} m k \quad - 20$$

وعند قياس جهد الأكسدة - اختزال، فالنشاطية لأيون الأيدروجين

H^+ إذا تكون الوحدة والجهد هو :

$$E_Y = E^o + \frac{RT}{f} m \frac{Fe^{3+}}{Fe^{2+}} \quad - 21$$

جهد الأكسدة – الاختزال لمبادلات الكترون :

Redox – potentials of electron exchanges

لا نستطيع قياس جهد الأكسدة – اختزال للمبادلات الإلكترونية مباشرة حيث أن الراتنج غير قادر لتبادل الإلكترون مباشرة مع أقطاب البلاطين، بدلاً من ذلك نستطيع القياس للمزدوج المذاب عند الاتزان مع الراتنج، وبالتالي يعطى قياس الجهد لمبادل الإلكترون.

وتم تفاعلات القطب لمبادلات الإلكترون بإدخال بروتينات (المعادلة 7) والجهد حينئذ يعتمد على الرقم الأيدروجيني pH للمحلول.

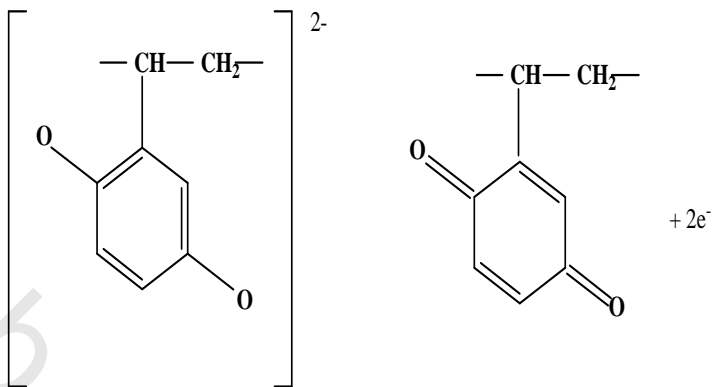
مثال: جهد الهيدروكينون – المبادل بالتقريب هو :

$$\begin{aligned} E_r &= E^o + \frac{RT}{f} m \frac{[R]^{\frac{1}{2}} [H^+]}{[RH_2]^{\frac{1}{2}}} \\ &= E^o + \frac{RT}{2f} m \frac{[R]}{[RH_2]} + \frac{RT}{f} m [H^+] \end{aligned} \quad - 22$$

حيث $[R]$ ، $[RH_2]$ - تركيز كل من المجموعات المؤكسدة والمختزلة على التوالي: وجهد الأكسدة – الاختزال القياسي هو بالتعريف. الجهد مع $H^+ = 1$ عند 0 $pH =$ المعادلة (22) تبين أن جهد (الأكسدة – الاختزال) بالعلاقة :

$$\frac{RT}{f} m 10 = 0.059 \text{ volt}$$

وعندما ينخفض الأس الأيدروجيني بوحدة واحدة، حينئذ المبادل الإلكتروني يكون عامل مؤكسد قوي، عامل مخترل ضعيف عندما يكون المحلول أكثر حامضية. وفي الوسط القاعدي، يمكن أن يتلقّى أحد المجاميع للهيدروكسيل أو كلاهما معاً في مركب الهيدروكينون. فعند أنس أيدروجيني عال فيكون التفاعل للقطب هو :



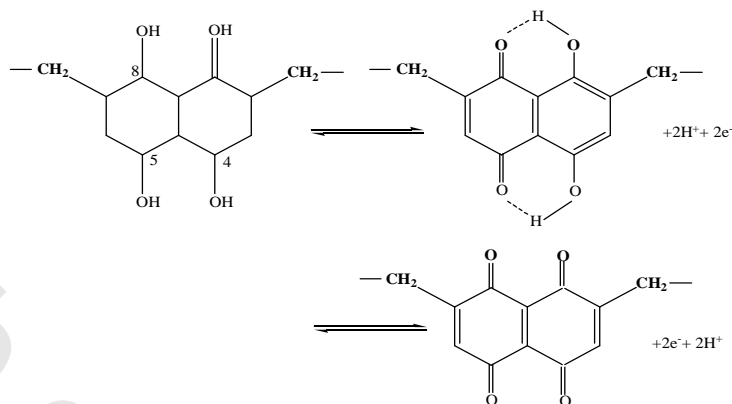
- 23

بدلاً من المعادلة (7) يصبح الجهد ريدوكس مستقل عن الأُس الأيدروجيني، حيث المعادلة (23) لا تتضمن بروتونات أو هيدرووكسيل أيونية.

قياسات معملية لجهد الأكسدة - الاختزال تبين اعتماد الأُس الأيدروجيني المندفع وتبين أيضاً جهد الأكسدة - الاختزال القياسي المزدوج يتأثر بواسطة الدمج المزدوج في مبادل الإلكترون أو مبادل أيون الأكسدة - الاختزال ولكن ليس بقوة.

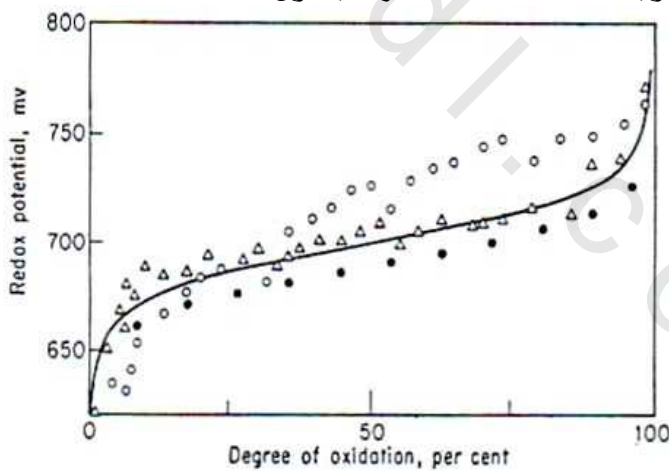
وتأتي العلاقة (22) بافتراضات وهي: أن كل المجموعات الدالة في الراتنج لها نفس الجهد القياسي، وأن معامل النشاطية يمكن تجاهله وأن يسير التفاعل على خطوة واحدة.

وعموماً منحنى الأكسدة - الاختزال في بعض الأحيان مرتفع عن المعادلة (22)- انظر الشكل (1). هذا الانحراف (غير مؤكد) تفسير ظاهرياً بواسطة الفرق في الجهود القياسية للمجموعات والتي غير مشابه بالطبع في الوسط، وكذلك بتكوين مترافق وسط التفاعل كمثيل شبه كينون. وهو بتكييف نواتج للمركب 4,1 ، 5 ، 8 رباعي هيدرووكسي نفثالين.



هنا يثبت مماثل **كينون برياط الأيدروجين**.

عامل آخر غير مشتمل في الصورة البسيطة مؤد إلى المعادلة (22) هو التفاعل المذبذب أو المتبادل بين المجموعات النشطة المجاورة. فقد أجريت محاولات لحساب هذا التأثير باستخدام نموذج احصائي حيث شابه تماماً نموذج Katchalsky's - متبادل أيوني. وعلى أي حال هذه نظرية شديدة التدقير لم تتأكد بكفاية. قيم جهود الأكسدة والاختزال القياسي لنظم المزدوجات الشائعة - انظر الجدول (1).



شكل (1): منحنى ريدوكس لمبادل إلكترون نوع هيدروكيتون (O ، Δ) المنحنى النظري من المعادلة (22) الخط الغامق، قيم لأحادي الجزيء الهيدروكيتون (O) (5) - جهد الأكسدة - الاختزال كدالة لدرجة التشابك للأكسدة للمبادل

حدول (1)

Redox couples in acidic solution

Couple	E° Volts
$\text{Cr}^{2+} = \text{Cr}^{3+} + e^-$	-0.41
$\text{Ti}^{3+} = \text{Ti}^{4+} + e^-$	-0.37
$\text{N}_2\text{H}_5^+ = \text{N}_2 + 5\text{H}^+ + 4e^-$	-0.23
$\text{S}_2\text{O}_4^{2-} + 2\text{H}_2\text{O} = 2\text{SO}_4^{2-} + 4\text{H}^+ + 2e^-$	-0.22
$\text{UO}_2^{2+} = \text{UO}_2^{3+} + e^-$	+0.05
$\text{Ti}^{3+} + \text{H}_2\text{O} = \text{TiO}^{2+} + 2\text{H}^+ + e^-$	+0.1
$\text{Sn}^{2+} = \text{Sn}^{4+} + 2e^-$	+0.15
$\text{Cu}^+ = \text{Cu}^{2+} + e^-$	+0.153
$\text{CH}_3\text{OH(aq)} = \text{H}_2\text{CO(aq)} + 2\text{H}^+ + 2e^-$	+0.19
$\text{Fe(CN)}_6^{4-} = \text{Fe(CN)}_6^{3-} + e^-$	+0.36
*1,4-naphthoquinone = 1,4-naphthoquinone + $2\text{H}^+ + 2e^-$	+0.480
* $\text{Cu} = \text{Cu}^+ + e^-$	+0.521
*Leukomethylene blue = methylene blue + $2\text{H}^+ + 2e^-$	+0.53
$2\text{I}^- = \text{I}_2 + 2e^-$	+0.5355
$\text{MnO}_4^{2-} = \text{MnO}_4^- + e^-$	+0.564
$\text{PtCl}_6^{2-} + 2\text{Cl}^- = \text{PtCl}_6^{3-} + 2e^-$	+0.68
$\text{H}_2\text{O}_2 = \text{O}_2 + 2\text{H}^+ + 2e^-$	+0.682
*Benzohydroquinone = benzoquinone + $2\text{H}^+ + 2e^-$	+0.6994
* $\text{Fe}^{2+} = \text{Fe}^{3+} + e^-$	+0.771
* $\text{Ag} = \text{Ag}^+ + e^-$	+0.7991
$\text{Hg}_2^{2+} = 2\text{Hg}^{2+} + 2e^-$	+0.920
$\text{ClO}_3^- + \text{H}_2\text{O} = \text{ClO}_4^- + 2\text{H}^+ + 2e^-$	+1.19
$\frac{1}{2}\text{I}_2 + 3\text{H}_2\text{O} = \text{IO}_3^- + 6\text{H}^+ + 5e^-$	+1.195
$\text{Ti}^+ = \text{Ti}^{2+} + e^-$	+1.25
$2\text{NH}_4^+ = \text{N}_2\text{H}_4^+ + 3\text{H}^+ + 2e^-$	+1.275
$\text{PdCl}_6^{2-} + 2\text{Cl}^- = \text{PdCl}_6^{3-} + 2e^-$	+1.288
$2\text{Cr}^{3+} + 7\text{H}_2\text{O} = \text{Cr}_2\text{O}_7^{2-} + 14\text{H}^+ + 6e^-$	+1.33
$\text{NH}_4^+ + \text{H}_2\text{O} = \text{NH}_3\text{OH}^+ + 2\text{H}^+ + 2e^-$	+1.35
$2\text{Cl}^- = \text{Cl}_2 + 2e^-$	+1.3595
* $\text{Au} = \text{Au}^{3+} + 3e^-$	+1.50
$\text{Mn}^{2+} = \text{Mn}^{3+} + e^-$	+1.51
$\text{Mn}^{2+} + 4\text{H}_2\text{O} = \text{MnO}_4^- + 8\text{H}^+ + 5e^-$	+1.51
$\frac{1}{2}\text{Br}_2 + 3\text{H}_2\text{O} = \text{BrO}_3^- + 6\text{H}^+ + 5e^-$	+1.52
$\text{Ce}^{3+} = \text{Ce}^{4+} + e^-$	+1.61
$\text{Co}^{2+} = \text{Co}^{3+} + e^-$	+1.82
$2\text{SO}_4^{2-} = \text{S}_2\text{O}_4^{2-} + 2e^-$	+2.01
$\text{HPO}_4^{2-} + 3\text{OH}^- = \text{PO}_4^{3-} + 2\text{H}_2\text{O} + 2e^-$	-1.12
$\text{S}_2\text{O}_4^{2-} + 4\text{OH}^- = 2\text{SO}_4^{2-} + 2\text{H}_2\text{O} + 2e^-$	-1.12
$\text{SO}_3^{2-} + 2\text{OH}^- = \text{SO}_4^{2-} + \text{H}_2\text{O} + 2e^-$	-0.93
$\text{AsO}_4^{2-} + 4\text{OH}^- = \text{AsO}_4^{3-} + 2\text{H}_2\text{O} + 2e^-$	-0.67
$\text{S}_2\text{O}_4^{2-} + 6\text{OH}^- = 2\text{SO}_4^{2-} + 3\text{H}_2\text{O} + 4e^-$	-0.58
$\text{NO}_2^- + 2\text{OH}^- = \text{NO}_3^- + \text{H}_2\text{O} + 2e^-$	+0.01
$2\text{S}_2\text{O}_4^{2-} = \text{S}_4\text{O}_6^{2-} + 2e^-$	+0.08
$2\text{NH}_3(\text{aq}) + 2\text{OH}^- = \text{N}_2\text{H}_4^+ + 2\text{H}_2\text{O} + 2e^-$	+0.1
$\text{Co}(\text{NH}_3)_6^{2+} = \text{Co}(\text{NH}_3)_6^{3+} + e^-$	+0.1
$\text{J}^- + 6\text{OH}^- = \text{JO}_2^- + 3\text{H}_2\text{O} + 6e^-$	+0.26
$\text{ClO}_2^- + 2\text{OH}^- = \text{ClO}_4^- + \text{H}_2\text{O} + 2e^-$	+0.33
$\text{ClO}_3^- + 2\text{OH}^- = \text{ClO}_4^- + \text{H}_2\text{O} + 2e^-$	+0.36
$\text{Br}^- + 6\text{OH}^- = \text{BrO}_2^- + 3\text{H}_2\text{O} + 6e^-$	+0.61
$3\text{OH}^- = \text{HO}_2^- + \text{H}_2\text{O} + 2e^-$	+0.88

الحركة :

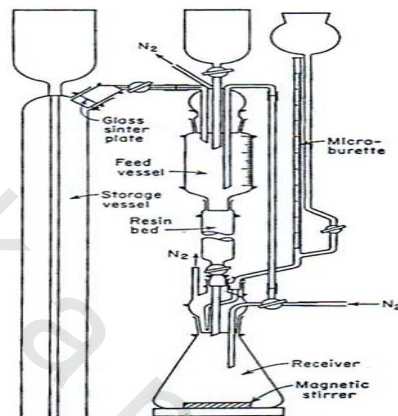
حركة تفاعلات المبادلات الإلكترونية حتى الآن لم تفحص كاملاً، ومن الأفضل أن نفترض أن خطوة تعين المعدل هي الانتشار داخل الجزيئات للمواد والنوافذ لـ التفاعل الكيميائي الفعلي سريع والانتشار هو الأبطأ. هذا يعتبر حقيقي خصوصاً مع راتجات ذات حبيبات كبيرة ومحتوى مذيب قليل. وبمعنى آخر لـ التفاعل الكيميائي لمجموعات الدالة تكون بطيئة عن الانتشار وبالتالي تكون خطوة التعين للمعدل الأولى.

ومن المعلوم بأن المعدل بطيء ولذا فإن فترة نصف العمر تأخذ عدة أيام أو مساحات. وليس كل التفاعلات التي تكون ممكناً بها لجهود الأكسدة - الاختزال القياسية تسير سريعة بكمية للتطبيقات العملية. فعندما يكون الانتشار هو معدل التحكم، فإن المعدل يختزل بواسطة كبر حجم الحبيبة وبالعكس يزداد مع انخفاض نصف قطر الحبيبة للوزن، كذلك فإن ارتفاع درجة الحرارة يزيد من معدل الانتشار والتفاعل الكيميائي ويكون مفيد. وعلى كل حال فإنه يجب التحقيق أو التحقق فيما الوزن ثابت عند درجات حرارة عالية تحت ظروف التجربة.

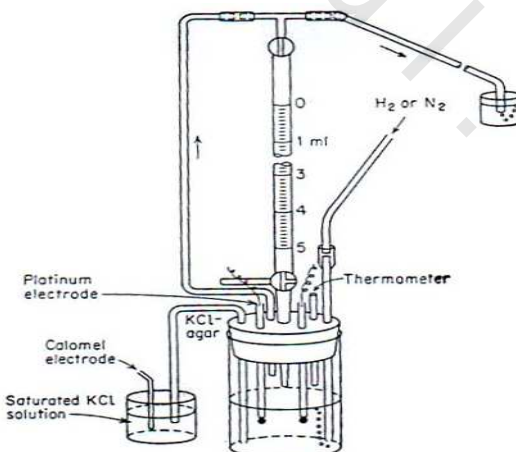
تجربة : تعين سعة الأكسدة - الاختزال عملياً :

تعين سعة الاختزال - الأكسدة عادة بهذه الطريقة. بوضع كمية معلومة من المبادر الإلكتروني في عمود، يختزل الرزن كاملاً بواسطة عامل مناسب ثم يغسل بالماء من الأكسجين المذاب الذي يزال كاملاً. يمرر بعد ذلك عامل مؤكسد بكمية زائدة مناسبة خلال العمود، سوف يختزل عدد مكافئ بواسطة الراتج، ثم يعين السائل المناسب من العمود بالمعاييرة بواسطة مقاييس للأكسدة. بعد ذلك يحول الوزن كاملاً بعد ذلك كعامل مؤكسد ثم يغسل. وكما يجب إزالة الهواء من العمود حيث وجود الأكسجين يؤدي إلى أخطاء. والشكل (1) هو الشكل المناسب لإجراء هذه التجربة. جهد الأكسدة - الاختزال القياسي والمعaireة البوتاشوميتية (قياس الجهد) يعرف جهد الأكسدة - الاختزال بأن فرق الجهد الكهربائي بين المزدوج وقطب الأيدروجين القياسي. والقياسات الحقيقة على أي حال. عادة ما تجرى مع قطب كالوميل كقطب قياسي. حيث الفرق بين القطب الكالوميل والقطب الأيدروجيني القياسي بالقيمة $0.2415 +$ فولت. وجهد الأكسدة - الاختزال بالمزدوج المذاب بواسطة الخلية الآتية :

ومنحنى جهد الأكسدة - الاختزال (شكل 3) وذلك بمعايرة مبادل إلكترون أو مبادل أيون أكسدة - اختزال وذلك بمعايرة - راتج مختزل كاملاً بواسطة عامل مؤكسد مناسب قوي. والفرق بين القطب البلاتيني والقطب الكالوميل سيقاس بعد إضافة العامل. كما نعطي زمن كاف لزمن الوصول للاتزان بعد الإضافة. حيث لا يتصل الراتج مع الأقطاب، حينئذ جهد الأكسدة - الاختزال المقاس لا تكن للرزن ولكن تلك للمعايرة التي عند حالة الاتزان مع الرزن.



شكل (2): أجهزة معملية لقياس الأكسدة والاختزال مبادلات إلكترونية حيث نضع المبادل في عمود صغير والذي يتصل باناء التغذية ومستودع. قبل إجراء التجربة وخلالها، يمر نتروجين خلال إناء التغذية والمستودع. كما توجد سماحة دقيقة للعيارية متصلة بالمستودع وذلك لإيجاد سعة الريدوكس.



شكل (3): أجهزة قياس فرق الجهد - عيارية لمزدوج نداد ومبادل إلكترون. حيث يضاف المحلول من السماحة إلى المستودع المحتوى للمبادل والمحلول القائم بالوساطة والمزدوج بقطب كالوميل وقطبين من البلاتين (للقياس الإزدواجي)، كذلك الأجهزة تزود بالستروجين أو الأيدروجين

جدول (١): يشتمل معظم المبادلات الأيونية الشائعة التجارية.

Matrix	Ionic group	Trade name	Manufacturer	Capacity		Moisture content, % wt	Maximum temperature, °C	pH range	Physical form	Remarks
				meq/g dry resin	meq/ml resin bed					
Cation Exchangers										
Polystyrene resins	-SO ₃ ⁻	Amberlite IR-120	Rohm & Haas Co. [†]	4.3-5	1.9	44-48	120	0-14	Spherical beads	Standard resin, ca. 8% DVB
		Amberlite IR-122	Rohm & Haas Co. [†]	4.3-5	2.1	40-44	120	0-14	Spherical beads	ca. 10% DVB, higher resistance to oxidizing agents
		Amberlite IR-124	Rohm & Haas Co. [†]	4.3-5	2.1	37-41	120	0-14	Spherical beads	ca. 12% DVB, higher resistance to oxidizing agents
		Amberlite 300	Rohm & Haas Co. [†]	4.3	1.75	47-52	120	0-14	Spherical beads	Higher mech. and chem. stability, lower capacity
		Amberlite XE-100	Rohm & Haas Co. [†]	4.5	1.2	58-65	120	0-14	Spherical beads	ca. 4% DVB
		Amberlyst 15	Rohm & Haas Co. [†]	4.9	1.2	60-66	120	0-14	Spherical beads	"Macroreticular" resin
		Dowex 50	Dow Chemical Co. [‡]	4.9-5.2			150	0-14	Spherical beads	Available with different degrees of crosslinking (Dowex 50-X2 has 2% DVB, etc.); Dowex 50W is improved resin replacing older Dowex 50
		Dowex 50W	Dow Chemical Co. [‡]	4.9-5.2	Depends on crosslinking		150	0-14	Spherical beads	
		Duolite C-20	Chemical Process Co.	5.1	2.2	45-51	150	0-14	Spherical beads	Standard resin, ca. 8% DVB; other degrees of crosslinking on request
		Duolite C-25	Chemical Process Co.	5.1	1.7	55-62	120	0-14	Spherical beads	Porous resin
		Duolite C-27	Chemical Process Co.	5.0	2.1	45-50	150	0-14	Spherical beads	Resin of lighter color
Polystyrene resins (continued)	-SO ₃ ⁻ (continued)	Imac C-12	"Activit," Holland	4.5	2		120	0-14	Spherical beads	Standard resin, ca. 8% DVB
		Imac C-19	"Activit," Holland	4.5	1.4		120	0-14	Spherical beads	Porous resin
		Ionac C-240	(Permutit Q, marketed by Ionac Co.)							
		Lewatit S-100	Farbenfabriken Bayer, Germany (West)	4.75	2.5	40-45	110	0-12	Spherical beads	Standard resin, ca. 8% DVB
		Lewatit S-115	Farbenfabriken Bayer, Germany (West)	4.8	2.4	40-45	110	0-12	Spherical beads	Higher resistance to oxidizing agents
		Nalcite HCR	(Dowex 50-X8, marketed by Nalco Chemical Co.)							
		Nalcite HGR	(Dowex 50-X10, marketed by Nalco Chemical Co.)							
		Nalcite HDR	(Dowex 50-X12, marketed by Nalco Chemical Co.)							
		Permutit Q	Permutit Co., U.S.A.	4.8	2.0	45-50	120	0-14	Spherical beads	Standard resin; other degrees on crosslinking available
		Permutit RS	Permutit A. G., Berlin, Germany (West)	5.5			150		Spherical beads	
-PO ₃ ²⁻	-PO ₃ ²⁻	Reser P	Joe Crossfield, England						Spherical beads	
		Wofatit KPS	VEB Farbenfabrik Wolfen, Germany (East)	4.5			115		Spherical beads	Standard resin with 10% DVB; resins with 2, 4, 6, and 16% DVB also available
		Zeo-Karb 225	Permutit Co. Ltd., England [§]	4.8	2.1	45-50	120		Spherical beads	Standard resin with 8% DVB; resins with 1, 2, 4.5, 12, and 20% DVB also available
		Bio-Rex 63	(Duolite C-63, analytical grade, marketed by Bio-Rad Laboratories)							
		Duolite ES-61	Chemical Process Co.					4-14	Spherical beads	Experimental resin
		Duolite C-63	Chemical Process Co.	6.6	3.1-3.3			4-14	Spherical beads	Experimental resin, ca. 6% DVB, more porous than ES-61
		Nalcite X-219	Nalco Chemical Co.					4-14	Spherical beads	Experimental resin
		Bio-Rex 62	(Duolite C-62, analytical grade, marketed by Bio-Rad Laboratories)							
		Duolite ES-60	Chemical Process Co.					4-14	Spherical beads	Experimental resin
		Duolite C-62	Chemical Process Co.	6.0	2.6			4-14	Spherical beads	Experimental resin, more porous than ES-60
-N(CH ₃ COOH) ₂	-N(CH ₃ COOH) ₂	Chelex 100	(Dowex A-1, analytical grade, marketed by Bio-Rad Laboratories)							

تابع جدول (1)

Matrix	Ionic group	Trade name	Manufacturer	Capacity		Moisture content, % wt	Maximum temperature, °C	pH range	Physical form	Remarks
				meg/g dry resin	meg/ml resin bed					
Polystyrene resins (continued) Vinyl addition polymers	—N(CH ₃ COOH) ₂	Dowex A-1	Dow Chemical Co.	1-1.2	0.33	71-76	4-14	Spherical beads	Chelating resin	
	—OSO ₃ ⁻	CFB-P	Chem. Fabrik Budenheim, Germany (West)			100				
	—COOH	Amberlite IRC-50	Rohm & Haas Co. [†]	9.5	3.5	43-53	120	5-14	Spherical beads	
		Amberlite XE-89	Rohm & Haas Co. [†]		4.2	52-60	120	5-14	Spherical beads	Special resin for pharmaceutical applications
		Bio-Rex 70	(Duolite CS-101, analyt. grade, marketed by Bio-Rad Laboratories)							
		Duolite CS-101	Chemical Process Co.	10	3.5		100	6-14	Spherical beads	
		Ionac C-270	(Permutit H-70, marketed by Ionac Co.)							
		Permutit C	Permutit A. G., Berlin, Germany (West)	10	4		100	6-14	Spherical beads	
		Permutit H-70	Permutit Co., New York	7.9	3.6		95	6-14	Spherical beads	
		Wa'stit CP	VEB Farbenfabrik Wolfen, Germany (East)	10			30		Spherical beads	
Phenolic resins	—SO ₃ ⁻	Zeo-Karb 226	Permutit Co. Ltd., England [‡]	10	3.5		100		Spherical beads	Available with 2.5 and 4.5% crosslinking
		Bio-Rex 40	(Duolite C-3, analytical grade, marketed by Bio-Rad Laboratories)							
		Duolite C-3	Chemical Process Co.	2.9	1.2		60	0-9	Granules	
		Duolite C-10	Chemical Process Co.	2.9	0.6		40	0-9	Granules	
		Lewatit KSN	Farbenfabrik Bayer, Germany (West)	4.0	1.6	45-50	30	0-8	Granules	Resins with —CH ₂ SO ₃ ⁻ groups; C-10 more porous than C-3
		Wa'stit F	VEB Farbenfabrik Wolfen, Germany (East)	2.9			50		Granules	
		Wa'stit P	VEB Farbenfabrik Wolfen, Germany (East)	1.9			35		Granules	
		Zeo-Karb 215	Permutit Co. Ltd., England [‡]	2.6	0.9		40		Granules	
		Duolite ES-65	Chemical Process Co.	3.3	1.4				Granules	
		Duolite CS-100	Chemical Process Co.	1.9	0.8				Granules	
Phenolic resins (continued)	—PO ₃ ²⁻	Ionac C-265	(Permutit H, marketed by Ionac Co.)							
		Lewatit CNO	Farbenfabrik Bayer, Germany (West)	4.0	2.5	30-35	40	0-8	Granules	
		Permutit II	Permutit Co., New York	5.0	1.9		65		Granules	
		Permutit III	Permutit A. G., Berlin, Germany (West)	4.0			40		Granules	
		Resex W	Jon. Crosfield, England	2.5-3					Granules	
		Wofalit CN	VEB Farbenfabrik Wolfen, Germany (East)	2.0			30		Granules	
		Zeo-Karb 215	Permutit Co. Ltd., England [‡]	2.5	1.1		30		Granules	
		Lewatit CNS	Farbenfabrik Bayer, Germany (West)	5.0	2.8	36-43	40	0-8	Granules	
		Durasit S	"Activit," Holland				100		Granules	
		Soucol	Jon. Crosfield, England	1.8	0.6		30		Granules	
Aluminosilicates		Decalso	Permutit Co., New York	1.4	0.5		40		Granules	
		Door I	Jon. Crosfield, England	1.2					Granules	
		Molecular Sieve 4A	Linde Co.				400		Pellets	
		Molecular Sieve 5A	Linde Co.				400		Pellets	
Zirconium-base ion exchangers		Molecular Sieve 13X	Linde Co.				400		Pellets	
	—SO ₃ ⁻	Bio-Rad ZP-1	Bio-Rad Laboratories				300	1-6	Crystals	
	—WO ₄ ²⁻	Bio-Rad ZT-1	Bio-Rad Laboratories	1.0	0.7		300	1-6	Crystals	
	—OMeO ₃ ⁻	Bio-Rad ZM-1	Bio-Rad Laboratories				300	1-6	Crystals	
Ammonium molybdate phosphate Cellulose		Bio-Rad AMP-1	Bio-Rad Laboratories						Micro-crystals	
	—OC ₂ H ₅ SO ₃ ⁻	Cellex SE	Bio-Rad Laboratories	0.2					Small rods	
	—OPo ₃ ²⁻	Cellex P	Bio-Rad Laboratories	0.8					Small rods	
	—OCH ₃ COOH	Celi CerM	Bio-Rad Laboratories	0.7					Small rods	

تابع جدول (1)

Matrix	Ionic group	Trade name	Manufacturer	Capacity		Moisture content, % wt	Maximum temperature, °C	pH range	Physical form	Remarks
				meq/g dry resin	meq/ml resin bed					
Anion Exchangers										
Polystyrene resins	$-N(alkyl)_3^+$	Aamberlite IRA-400	Rohm & Haas Co. [†]	2.6	1.2	42-48	60	0-12	Spherical beads	Standard resin, ca. 8% DVB
Polystyrene resins (continued)	$-N(alkyl)_2^+$ (continued)	Aamberlite IRA-401	Rohm & Haas Co. [†]	3	1.0	54-59	60	0-12	Spherical beads	Porous resin
		Aamberlite IRA-401S	Rohm & Haas Co. [†]		0.8	59-65	60	0-12	Spherical beads	Special resin for sugar treatment
		Aamberlite IRA-402	Rohm & Haas Co. [†]		1.3	53-60	60	0-12	Spherical beads	
		Aamberlite IRA-405	Rohm & Haas Co. [†]		1.6	45-49	60	0-12	Spherical beads	Special resin for uranium recovery
		Aamberlite IRA-425	Rohm & Haas Co. [†]		1.3	50-53	60	0-12	Spherical beads	
		De-Acidite FF	Permutit Co. Ltd., England [§]	4.0	1.6		60		Spherical beads	Standard resin 7-9% DVB; lower degrees of crosslinking available
		Dowex 1	Dow Chemical Co. [‡]	3.5	Depends on crosslinking		50		Spherical beads	Standard resin Dowex 1-X8; other crosslinking available
		Dowex 11	Dow Chemical Co. [‡]				50		Spherical beads	Special resin for uranium recovery
		Dowex 21K	Dow Chemical Co. [‡]	4.5	1.2	57	50		Spherical beads	Improved mech. stability, easier regeneration
		Duolite A-42	Chemical Process Co.	2.3	0.7		60	0-14	Spherical beads	
Polystyrene resins (continued)	$-N(alkyl)_3^+$ (continued)	Duolite A-101	Chemical Process Co.	4.0	1.3		60	0-14	Spherical beads	
		Duolite A-101D	Chemical Process Co.	4.2	1.4		60	0-14	Spherical beads	Improved resins, more porous than A-42
		Ionac A-540	(Permutit S-1, marketed by Ionac Co.)							
		Lewatit M-500	Farbenfabriken Bayer, Germany (West)	4.0	1.6	35-45	70	1-14	Spherical beads	
		Lewatit MP-500	Farbenfabriken Bayer, Germany (West)	4.0	1.2	55-60	70	1-14	Spherical beads	Exact nature of fixed ionic groups not disclosed;
		Lewatit M-600	Farbenfabriken Bayer, Germany (West)	3.7	1.6	40-50	40	1-14	Spherical beads	MP resins are porous varieties
		Lewatit MP-600	Farbenfabriken Bayer, Germany (West)	3.7	1.1	60-65	40	1-14	Spherical beads	
		Nalcite SBR	(Dowex 1, marketed by Nalco Chemical Co.)							Standard resin with 8% DVB
		Nalcite SBR-P								More porous resin
		Permutit ESB	Permutit A. G., Berlin, Germany (West)	3.2	1.2		70		Spherical beads	
Polystyrene resins (continued)	$-N(alkyl)(alkyl)_2^+$	Permutit ESB-26	Permutit A. G., Berlin, Germany (West)	3.3	1.3		70		Spherical beads	
		Permutit S-1	Permutit Co., New York	3.1	0.9		50		Spherical beads	
		Resanex HBL	Jos. Crosfield, England	3.5	1.5		60		Spherical beads	
		Reaner HBT	Jos. Crosfield, England	3.5			60		Spherical beads	More porous than HBL
		Wofatit SBW	VEB Farbenfabrik Wolfen, Germany (East)	3.5			60		Spherical beads	
		Aamberlite IRA-410	Rohm & Haas Co. [†]	3.0	1.2	40-45	40	0-12	Spherical beads	Standard resin, ca. 8% DVB
		Aamberlite IRA-411	Rohm & Haas Co. [†]	3.0	0.7		40	0-12	Spherical beads	More porous resin
		Dowex 2	Dow Chemical Co. [‡]	3.0	Depends on crosslinking		30		Spherical beads	Standard resin Dowex 2-X8; other degrees of crosslinking available
		Duolite A-40	Chemical Process Co.	3.7	1.1		40	0-14	Spherical beads	
		Duolite A-102	Chemical Process Co.	4.0	1.3		40	0-14	Spherical beads	
		Duolite A-102D	Chemical Process Co.	4.2	1.4		40	0-14	Spherical beads	Improved resins, more porous than A-40

تابع جدول (1)

Matrix	Ionic group	Trade name	Manufacturer	Capacity		Moisture content, % wt	Maximum temperature, °C	pH range	Physical form	Remarks				
				meq/g dry resin	meq/ml resin bed									
Polystyrene resins (continued)	-N(alkyloyl)(alkyl) ⁺ (continued)	Ionac A-550	(Permutit S-2, marketed by Ionac Co.)											
		Nalcite SAR	(Dowex 2, marketed by Nalco Chemical Co.)											
		Permutit ES	Permutit A. G., Berlin, Germany (West)	3.2	1.2		40		Spherical beads					
		Permutit ES-25	Permutit A. G., Berlin, Germany (West)	3.3	1.3		40		Spherical beads					
	Weak-base amino groups	Permutit S-2	Permutit Co., New York	3.3	1.2		40		Spherical beads					
		Aamberlite IR-45	Rohm & Haas Co. [†]	5	2	37-45	100	0-9	Spherical beads					
		De-Acidite G	Permutit Co. Ltd., England [‡]	4.0	1.6		100		Spherical beads	-N(C ₂ H ₅) ₂ groups only				
		De-Acidite M	Permutit Co. Ltd., England [‡]	5.5	2.2		100		Spherical beads	Polyamine groups				
		Dowex 3	Dow Chemical Co.	6	3		65		Spherical beads					
		Duolite A-14	Chemical Process Co.	8	2.5				Spherical beads					
Condensation polymers	-Ionac A-315 Lewatit MP-40	Ionac A-315	(Permutit W, marketed by Ionac Inc.)											
		Lewatit MP-40	Farbenfabriken Bayer, Germany (West)	6.3	2.2	40-50	100		Spherical beads	Tertiary amino groups				
		Nalcite WBR	(Dowex 3, marketed by Nalco Chemical Co.)											
		Permutit W	Permutit Co., New York	5.7	2.0		95		Spherical beads					
	Strong- and weak-base groups	De-Acidite II	Permutit Co. Ltd., England	3.8	1.5		100		Spherical beads					
		-SR ₂ ⁺	Duolite ES-105	Chemical Process Co.		1.2			Spherical beads	Experimental resin				
		-N(alkyloyl) ⁺	Ionac S-3	"Activit," Holland	0.6		40		Granules	Highly porous resin				
		Lewatit MN	Farbenfabriken Bayer, Germany (West)	2.3	0.9	46-54	30	1-14	Granules					
		Duolite A-2	Chemical Process Co.	8.4	2.3		40		Granules					
		Duolite A-2M	Chemical Process Co.	6.5	1.8		50		Granules	Tertiary amino groups only				
Condensation polymers (continued)	Weak-base amino groups	Duolite A-4	Chemical Process Co.	7.7	2.0		50	0-5	Granules	Tertiary amino groups only				
		Duolite A-5	Chemical Process Co.	9.0	2.5				Granules					
		Duolite A-6	Chemical Process Co.	7.0	2.2		60	0-5	Granules	Tertiary amino groups only				
		Duolite A-7	Chemical Process Co.	9.1	2.5		40	0-4	Granules					
		Duolite A-30T	Chemical Process Co.	8.9	2.8		80	0-5	Spherical beads	Epoxy-polyamine resin with tertiary amino groups				
		Ionac A-17	"Activit," Holland						Granules					
		Ionac A-19	"Activit," Holland		1.3		120		Granules					
		Lewatit MII-50	Farbenfabriken Bayer, Germany (West)	6.0	2.5	40-50	30		Granules					
	Strong- and weak-base groups	Permutit E-3	Permutit A. G., Berlin, Germany (West)	6			40		Granules	Tertiary amino groups only				
		Permutit E-7P	Jos. Croefeld, England	6			40		Granules	Highly porous resin				
Zirconium oxyhydrate Cellulose	-OC ₂ H ₅ N(C ₂ H ₅) ₂ ⁺	Resanex		9	3		60		Granules					
		Wofatit N	VEB Farbenfabrik Wolfen, Germany (East)	4.3			30		Granules					
		Duolite A-30B	Chemical Process Co.	8.7	2.5		80	0-9	Spherical beads	Epoxy-polyamine resin				
	Amino groups	Ionac A-300	(Permutit A, marketed by Ionac Co., New York)											
		Permutit A	Permutit Co., New York	8	2		40		Granules					
		Wofatit L-150	VEB Farbenfabrik Wolfen, Germany (East)	10			50		Granules	Polyalkyleneimine resin				
	-OCH ₂ -  -NH ₂	Bio-Rad H20-I	Bio-Rad Laboratories				300		Small rods					
		Cellex T	Bio-Rad Laboratories						Small rods					
		Cellex D	Bio-Rad Laboratories						Small rods					
		Cellex E	Bio-Rad Laboratories						Small rods					
		Cellex PAB	Bio-Rad Laboratories						Small rods					

تابع جدول (1)

Matrix	Ionic group	Trade name	Manufacturer	Capacity		Moisture content, % wt	Maximum temperature, °C	pH range	Physical form	Remarks
				meq/g dry resin	meq/ml resin bed					
Redox Ion Exchangers										
Condensation polymer		Duolite S-10	Chemical Process Co.				40	6-10	Granules	Amine resin containing copper for oxygen removal
Retardion Resins										
Polystyrene resin	$-N(CH_3)_2^+$ $-COO^-$	Retardion II-A-8	Dow Chemical Co.						Spherical beads	Dowex I containing polyacrylate anion

جدول (2) أغشية المبادلات الأيونية الشائعة:

Matrix	Ionic group	Trade name	Manufacturer	Capacity, meq/g dry membrane	Moisture content, % wt	Thickness, mm	Electric resistance, $\Omega \text{ cm}^2$ (ionic form)	Counter-ion transport number (solution used)	Remarks
Cation-exchanger membranes									
Polyethylene-styrene graft copolymers	$-SO_3^-$	AMF ion C-60	American Machine & Foundry Co.	1.6	35	0.3	5 (K ⁺)	0.92 (0.2 N KCl)	
		AMF ion C-103C	American Machine & Foundry Co.	1.2	15	0.16	7 (K ⁺)	0.98 (0.2 N KCl)	
		AMF ion C-313	American Machine & Foundry Co.	0.6	12	0.15	5 (K ⁺)	0.9 (0.2 N KCl)	
Polystyrene (Undisclosed)	Asahi membrane	Asahi Chem. Co., Japan			0.16-0.18	1.6 (Na ⁺)	0.99	(0.5 N NaCl)	
	Nafilm 1†	Nalco Chemical Co.		30	0.1				
Polystyrene (Undisclosed)	Nafilm 3†	Nalco Chemical Co.		65	0.1				
	Nepton CR-61	Ionics Inc.		2.8	45-50	0.6		0.9-0.95 (0.6 N NaCl)	Porous membrane Reinforced with Dynel backing
Phenolic resin	Permaplex C-20	Permutit Co. Ltd., England		3	30-40		20 (Na ⁺)	0.94 (1 N NaCl)	
	Zeo-Karb 315	Permutit Co. Ltd., England		1.8	75-83	0.12	1.2 (Na ⁺)		Experimental membrane
Anion-exchanger membranes									
Polyethylene-styrene graft copolymer	$-NR^+$	AMF ion A-60	American Machine & Foundry Co.	2.0	22	0.3	7 (Cl ⁻)	0.93 (0.2 N KCl)	
		AMF ion A-104B	American Machine & Foundry Co.	1.3	13	0.15	9 (Cl ⁻)	0.98 (0.2 N KCl)	
Polystyrene (Undisclosed)	Asahi membrane	Asahi Chem. Co., Japan			0.16-0.18	2.5 (Cl ⁻)	0.99	(0.5 N NaCl)	
	Nafilm 2†	Nalco Chemical Co.		30	0.1				
Polystyrene (Undisclosed)	Nafilm 4†	Nalco Chemical Co.		65	0.1				
	Nepton AR-111-A	Ionics Inc.		2.0	40-45	0.6		0.9-0.95 (0.6 N NaCl)	Porous membrane Reinforced with Dynel backing
	Permaplex A-20	Permutit Co. Ltd., England		2	30-40		9 (Cl ⁻)	0.93 (1 N NaCl)	

جدول (3) : المبادلات الأيونية السائلة.

Designation	Composition	Manufacturer
D2EHPA	Di-2-ethylhexyl phosphoric acid	Union Carbide Chemical Co.
HDPA	Heptadecyl phosphoric acid	Dow Chemical Co.
DDPA	Dodecyl phosphoric acid	Dow Chemical Co.
DBBP	Di-(<i>n</i> -butyl)- <i>n</i> -butyl-phosphonate	Virginia-Carolina Chemical Corp.
Primene JM-T	Trialkylmethyl amine	Rohm & Haas Co.
Amberlite LA-1	N-Dodecenyl(trialkylmethyl) amine	Rohm & Haas Co.
Amberlite LA-2	N-Lauryl(trialkylmethyl) amine	Rohm & Haas Co.
TIOA	Tri-isoctyl amine	Union Carbide Chemical Co.
Alamine 336	Tricapryl amine	General Mills
Aliquat 336	Tricaprylmethylammonium chloride	General Mills
TLA	Trilauryl amine	Archer-Daniels Midland Co.

جدول (4) الدوال الرياضية .

$$U(\tau) = 1 - \frac{6}{\pi^2} \sum_{n=1}^{\infty} \exp(-n^2\pi^2\tau) \quad [\text{Eq. (6-9)}]^*$$

τ	$U(\tau)$	τ	$U(\tau)$	τ	$U(\tau)$
0.000001	0.0034	0.001	0.1040	0.05	0.6061
0.000003	0.0059	0.002	0.1454	0.07	0.6856
0.00001	0.0107	0.003	0.1764	0.1	0.7705
0.00003	0.0184	0.005	0.2244	0.2	0.9150
0.0001	0.0336	0.007	0.2622	0.3	0.9685
0.0002	0.0473	0.01	0.3085	0.5	0.9956
0.0003	0.0577	0.02	0.4187	0.7	0.9999
0.0005	0.0742	0.03	0.4913	1.0	1.0000

* The values of $\tau < 0.01$ were calculated with a more rapidly converging series given by W. Gautschi:

$$U(\tau) = \frac{6}{\sqrt{\pi}} \tau^{1/2} - 3\tau + \frac{6}{\sqrt{\pi}} \sum_{n=1}^{\infty} \frac{1}{n^2} \exp(-n^2/\tau) \left(1 - \frac{3\tau}{2n^2} + \frac{15\tau^2}{4n^4} - \dots \right)$$

(for low values of τ , the first two terms alone give sufficient accuracy).

توجد بعض الدوال الأخرى الرياضية ويمكن الرجوع إليها في المراجع الأخرى.



obeikanal.com

المراجع

- 1- Alder,H.G. klein and F.K. Lindsay, Ind. Eng. Chem., 30,163 (1938).
- 2- Barrer, R.M.Proc. Chem. Soc.,1958, 99.
- 3- Deuel, H., Helv. Chim. Acta, 30, 1269 (1947).
- 4- Engel, P. N., Ger. Patent 583, 974, (1933).
- 5- Wright, M. L., Trons. Faraday Soc. 49, 95 (1953), 50, 89 (1954).
- 6- Abrams, I. M., Ind. Eng. Chem., 48, 1469 (1956).
- 7- Butler, G.B., and R.A., Johnson, J. Am. Cham Soc., 76, 713 (1974).
- 8- Kressman, T. R. E. and J. A. Kitchener, J. Chem. Soc.1949, 1190
- 9- Boyd, G., E Schubert, and A. W. Adamson, J. Am. Chem. Soc., 69, 2818 (1947).
- 10- Kunin, R., and R. J. Myers, J. Am. Chem., Soc. 692 , 874 (1947).
- 11- Zimmermann, M., Angew. Chem., 64,10 (1952).
- 12- Bonner, O. D. and R. R. Pruett, J. Phys. Chem., 62, 1417, 1420 (1959).
- 13- Gregor, H. P., and J. I. Bregman, J. Colloid Sci., 6,323 (1951).
- 14- Hofmann, V., Angew. Chem., 68, 53 (1956).
- 15- Harned, H. S., and B. B. Owen, " The Phys. Chem.of Elect.Soln.3d ed,P. 600, New York 1958.
- 16- Kunin, R., Ion Exchange Resins 2d ed., P. 320, John Wiley & Sons, Inc., New York 1958.
- 17- Nelson, F., and K. A. Kraus, J. Am. Chem. Soc. 77, 329 (1955).
- 18- Duolite Ion- Exchange Manual, Chem. Process Co. Red Wood City, Calf. 1960.
- 19- Boyd, G. E., and B. A. J. Am. Chem. Soc. 75. 6091, 6105 (1953).
- 20- Mackay, D., J. Phys. Chem., 64. 1718 (1960).
- 21- Thomas H. C., J. Am. Chem. Soc. 66. 664 (1944).
- 22- Scatchard, G., J. Am. Chem. Soc., 75, 2883 (1950).
- 23- Schmid, G., Z. Electrochemistry, 54, 424 (1950).
- 24- Meyer, K. H, and H. Mark " Macromolecular Chemistry, 3th ed, P. 894 A Kadémische Verlagsanstalt Geest and Portig, Leipzig, 1953.

- Obelikanal.com
- 25- Wyllie, M R J., J. Phys. Chem., 58,67 (1954).
 - 26- Boyd, G,E,L,S.Myerm, Jr and A.W.Adamson, J.Am. Chem. Soc., 69, 2840 (1947).
 - 27- Furnas, C.C., Trans. Am. Inst. Chem. Engrs., 24,142 (1930).
 - 28- Johnson H.W., Jr., and F.H. Stross, and Chem., 31,357 (1959).
 - 29- Lightfoot, E.N.,Jr.,J.Phys.Chem., 61,1686 (1957).
 - 30- Holfferich. F, Ion Exchange New York, London, McGraww – Hill Book Company (1962).

*** *** ***